

A N A K O I N Ω S E I S

Ο ΤΟΥΡΜΠΙΝΤΙΤΗΣ ΑΜΥΓΔΑΛΙΑΣ *

ΥΠΟ

ΑΘΑΝ. Γ. ΠΑΝΑΓΟΥ & ΤΕΡ. ΦΩΚΙΑΝΟΥ - ΜΑΛΑΒΕΤΑ

Περίληψις. Είς τὴν περιοχὴν Λαμπείας (παρὰ τὸ χωρίον Ἀμυγδαλιά) ἐνετοπίσθη ἐμφάνισις τουρμπιντίτου μήκους 27 περίπου μέτρων, ἀνεπτυγμένη εἰς 10 συνεχεῖς βαθμίδας. Είς τὸν σχηματισμὸν τοῦτον ἀναγνωρίζονται εὐκόλως τὰ τυπικὰ διὰ τοιούτους σχηματισμοὺς γνωρίσματα, ἡτοι α) ἡ κατὰ φθίνουσαν τάξιν μεγέθους κόκκους ίζηματογένεσις τοῦ ὄλικοῦ των. β) οἱ ψαμμιτικοὶ μπάγκοι τῆς βάσεως ἐκάστης βαθμίδος, εἰς τὸ πέλμα τῶν δποίων παρατηροῦνται αἱ χαρακτηριστικαὶ διὰ τουρμπιντίτας προεξοχαί, γ) ἡ χαρακτηριστικὴ σπειροειδῆς - τοξοειδῆς ὑψὴ περὶ τὸ μέσον τοῦ ἀναπτύγματος ἐκάστης βαθμίδος καὶ δ) ἡ διαδοχὴ περισσοτέρων κύκλων ίζηματογενέσεως.

"Ο Τουρμπιντίτης 'Αμυγδαλιᾶς είναι μικρᾶς σχετικῶς ἐκτάσεως καὶ ἀπετέθη εἰς περιβάλλον καθοριζόμενον ἀπὸ τὰ ἐν γειτονείᾳ συναπτεθέντα καὶ συμπτυχωθέντα ἀνθρακικὰ ίζηματα, τουτέστιν, παρὰ τὴν ἀκμὴν ὑφαλοκρηπίδος δπον χωροῦσε ἀνθρακικὴ ίζηματογένεσις.

Abstract. In the Lampia area (next to the village of Amygdalia) there is a formation of an alternate sequence of coarse and fine sediments, extending to 27 meters approximately.

The combination of many features recognized in the field, lead us to interpret them as turbidites.

These features are listed below :

1) Repetition of simple cycles (10), each consisting of a sandstone bed and an overlain shale.

2) Graded bedding.

3) The interface of sand and mud at the base of the sandstone is sculptured into many markings, the so-called sole markings.

4) Sole markings produced by current show a fairly constant direction of movement.

5) If a pronounced convolute lamination occurs, it is restricted to about the middle of the cycle.

The turbidite of Amygdalia is not of a relatively wide extend. Its deposition took place in a carbonate shelf margin environment as is suggested from the adjacent carbonate sediments.

* A. PANAGOS and T. FOKIANOU - MALAVETA.— The Turbidite of Amygdalia.
'Ανεκοινώθη κατὰ τὴν συνεδρίαν τῆς 12ης Φεβρουαρίου 1974.

Ε Ι Σ Α Γ Ω Γ Η

Άπο πολλών έτῶν είναι ήδη γνωστὸν ότι πυκνὰ φεύγατα ίζηματος υπό μορφὴν ἐναιωρήματος ἐντὸς ὕδατος, ἀποτελοῦν τρόπον ίδιορρύθμου ίζηματογενέσεως (FOREL 1885, DALY 1936).

Ο KUENEN (1938), στηριζόμενος εἰς τὰς ἀπόψεις τοῦ DALY, ἀποδεικνύει πρῶτος, πειραματικῶς, ότι ἐναιωρημα ἄμμου - ἀργίλου - πηλοῦ ἐντὸς ὕδατος δημιουργεῖ τελικῶς διὰ καθιζήσεως του χαρακτηριστικὸν στρωτιγενὲς ίζημα.

Άκολουθεῖ κατόπιν σειρὰ ὅλη ἔρευνητῶν (1, 3, 4, 6, 8, 9, 10, 11, 13, 14, 16, 17, 18, 19, 20, 21, 22, 23) οἱ δοποῖοι ἡσχολήθησαν ἔκτενῶς μὲ τὸ ἐν θέματι ἀντικείμενον καὶ σήμερον γνωρίζομεν καλῶς ότι τὰ ίζηματα ταῦτα, χαρακτηριστικῆς ἀναπτύξεως, είναι γνωστὰ ὡς τουρμπινῖται (Turbidite, Turbidites).

Συμφώνως πρὸς τὰς ἀπόψεις τῶν KUENEN καὶ MIGLIORINI (1950) τὰ ίδιορρύθμα ταῦτα ίζηματα ἐναποτίθενται υπὸ ἐναιωρημάτων υπὸ μορφὴν φεύγατα (Suspensionsströmen) ἐντὸς βαθέων ὕδατων καὶ ἐνεκα τούτου παρουσιάζουν χαρακτηριστικὴν ταξιδέτησιν τοῦ ὑλικοῦ των. Γενικῶς, πιστεύεται ότι ίζηματα παρυφῶν καὶ ἡπειρωτικῶν ἀκμῶν, συσσωρευθέντα ἐκεῖ υπὸ τῶν φεύγων ὕδατων, υπερβαίνουν κατὰ τὴν συσσώρευσίν των κρίσιμον τινὰ τιμῆν καὶ τότε λόγῳ τοῦ βάρους των ἡ ἔξ αλλων αἰτίων (θύελλα, σεισμός, αὔξησις πιέσεως πόρων κλπ.) διλισθαίνουν ἡ καταχρημάτιζονται εἰς τὸ βάθος. Κατὰ τὴν πτῶσιν των δημιουργεῖται «ἐναιωρημα τῆς μάζης των ἐντὸς τοῦ ὕδατος» καὶ λόγῳ ηὑξημένης πλέον πυκνότητος τοῦ ἐναιωρήματος σχηματίζεται φεύγα (turbidity current), τὸ δοποῖον κινεῖται μέχρι καθιζήσεως τοῦ ὑλικοῦ.

Τὸ ἀδρομερέστερον ὑλικὸν (ἄμμος)* καθιζάνει πρῶτον, ἀκολουθῶν δὲ ἐν συνεχείᾳ δὲ ἡλὸς** καὶ ἡ ἀργίλος***, οὕτως, ὥστε νὰ δημιουργεῖται ταξιδέτησις τοῦ ὑλικοῦ, πρακτικῶς κατὰ φθίνουσαν τάξιν μεγέθους κόκκων (gradierte Schichtung).

Ἡ τοιαύτη ταξιδέτησις τοῦ ὑλικοῦ συνεπάγεται τὰ κάτωθι χαρακτηριστικὰ διακριτικὰ γνωρίσματα διὰ τουρμπινῖτας:

α) Εἰς τὴν βάσιν δημιουργεῖται «πάγκος (Bank)» ἐκ τοῦ ἀδρομερέστερον ὑλικοῦ (κυρίως ἄμμος). Τὸ πάχος τοῦ φαμμιτικοῦ τούτου σχηματισμοῦ κυμαίνεται ἀπὸ μερικὰ ἐκατοστὰ μέχρι καὶ τινα μέτρα. Εἰς τὸ πέλμα τοῦ φαμμιτικοῦ πάγκου παρατηροῦνται χαρακτηριστικαὶ μαστοειδεῖς προεξοχαὶ (Sohlmarken). Αὗται δημιουργοῦνται κατὰ τὴν καταχρήμνισιν τοῦ βαρέος ἐναιωρήματος τῆς ἄμμου

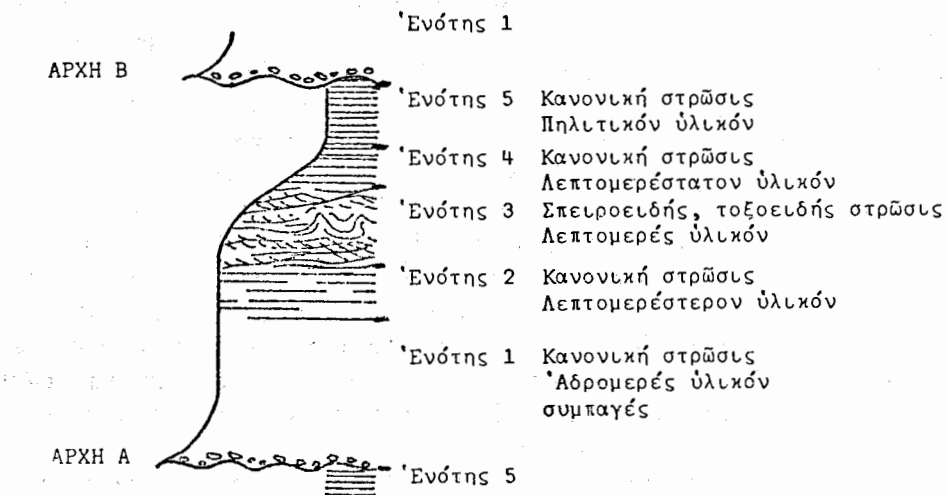
Αἱ ἔννοιαι ἄμμος*, πηλὸς** καὶ ἀργίλος*** ἀντιστοιχοῦν ἐν προκειμένῳ εἰς τὰς ἔννοιας sand, silt καὶ clay ἀντιστοχῶς καὶ δρίζονται ἀποκλειστικῶς καὶ μόνον ἀπὸ τὰς διαστάσεις τῶν συστατικῶν των, ἦτοι :

sand = ὑλικὸν διαστάσεων μεγαλυτέρων τῶν 0,063 mm
silt = ὑλικὸν διαστάσεων μεταξὺ 0,063 καὶ 0,002 mm
clay = ὑλικὸν διαστάσεων μικροτέρων τῶν 0,002 mm

(sand - suspension) ἐπὶ τοῦ ἀργιλικοῦ ὑποβάθρου. Ἐπὶ τοῦ τελευταίου τούτου καὶ εἰς τὴν ἐπιφάνειάν του δημιουργοῦνται, λόγῳ φευμάτων, κοιλότητες αἱ δοπῖαι πληροῦνται ἀπὸ τὴν ἄμμον τοῦ ἐναιωρήματος.

Ἡ στρῶσις τοῦ ὑλικοῦ τοῦ ψαμμιτικοῦ πάγκου εἶναι τυπικὴ καὶ τὸ ὑλικὸν τάσσεται κατὰ φθίνουσαν τάξιν μεγέθους κόκκων (ἀδρομερῆς ἄμμος, λεπτοτάτη ἄμμος) ἐκ τῶν κάτω πρὸς τὰ ἄνω. Ἡ ἀποστρογγύλωσις τῶν κόκκων εἶναι περιωρισμένη.

β) Περὶ τὸ μέσον τοῦ ἀναπτύγματος τοῦ τουρμπιντίτου τὸ ὑλικὸν (ἄμμος -



Eix. 1. Γενικὴ σχηματικὴ παράστασις τουρμπιντίτου, κατὰ Bouma 1962.

πηλὸς - ἀργιλος) παρουσιάζει χαρακτηριστικὴν τοξοειδῆ (bogige struktur) ἢ σπειροειδῆ (wickelstruktur, convolute lamination) ὑφήν.

γ) Εἰς τὸ τέλος, ἡ ἀνάπτυξις συμπληροῦται πρὸς τὰ ἄνω διὰ λεπτομεροῦς πηλιτικοῦ ὑλικοῦ εἰς τυπικὴν δριζοντίαν στρῶσιν.

Τελικῶς, ἀκολουθεῖ ἀπλῶς ἡ πολλαπλῶς νέος κύκλος ὃς ὁ ἀνωτέρω ἢ συνεχίζεται ἡ ἥρεμος προγενεστέρα ιζηματογένεσις.

Οἱ τουρμπιντίται εἶναι σχηματισμοὶ σπάνιοι καὶ ἴδιόρρυθμοι καὶ ὁ ἐντοπισμὸς καὶ ἡ ἀναγνώρισις τῶν εἶναι μᾶλλον δύσκολος.

“Οἱ καθορισμὸς καὶ ἡ διάκρισις ἐνὸς τουρμπιντίτου γίνεται ἐπὶ τῇ βάσει ἐνὸς συνόλου κριτηρίων τὰ δοπῖα δὲν ἀπαντῶνται πάντοτε εἰς ἔνα καὶ τὸν αὐτὸν σχηματισμὸν. Κατὰ τὸν BOUMA (1962) καὶ ἄλλους, εἰς δλῶς τυπικὰς περιπτώσεις ἡ ἀνάπτυξις τῶν γίνεται κατὰ τὴν εἰς τὴν εἰκ. 1 ἀπεικονιζομένην νομοτέλειαν.

Ἐπειδή, ὃς ἐτονίσθη, πάντα τὰ ἀνωτέρω γνωρίσματα δὲν ἐντοπίζονται πάντοτε εἰς δλῶς τοὺς τουρμπιντίτας ἀλλὰ καὶ ἐπειδὴ ἡ περιγραφεῖσα «δομὴ» τῶν δὲν εἶναι πάντοτε πλήρης, διτὶ παραμένει τυπικὸν καὶ οὐσιῶδες εἶναι:

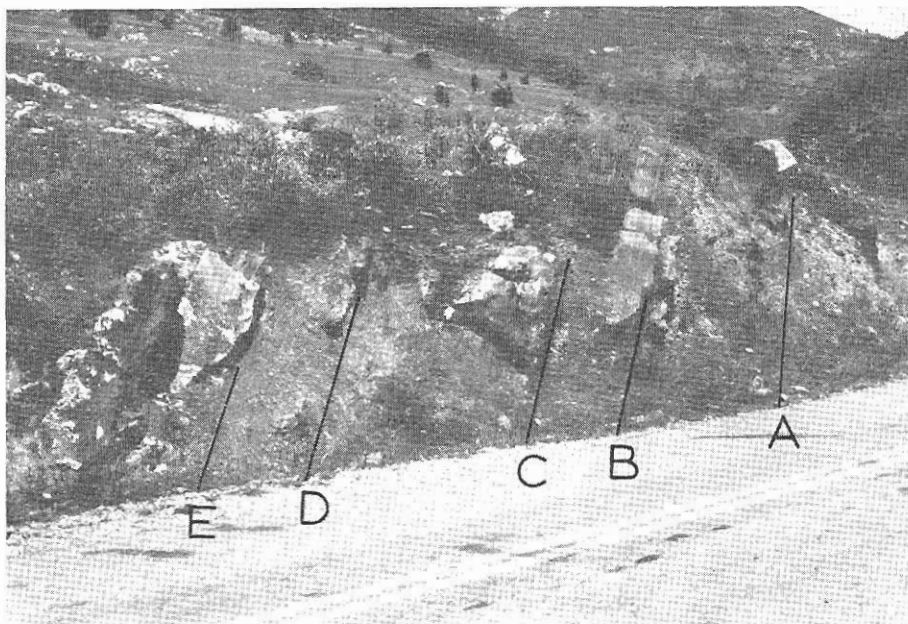
α) Αἱ μαστοειδεῖς προεξοχαὶ τοῦ πέλματος τῆς ψαμμιτικῆς βάσεως (Sohlmarken).

β) Ἡ κατὰ φθίνουσαν τάξιν μεγέθους κόκκων ταξιθέτησις τοῦ θλικοῦ.

γ) Ἡ σπειροειδής (περιελιγμένη) στρῶσις (wickelstruktur, convolute lamination) τοῦ ἐνδιαιμέσου στρῶματος.

δ) Ἡ διαδοχή, κατὰ τὴν στρῶσιν, περισσοτέρων κύκλων ἵζηματογενέσεως.

Τὰ ὡς ἄνω τυπικὰ γνωρίσματα ἀνεγνωρίσθησαν σαφῶς καὶ ἄνευ ἀμφιβολίας εἰς τὸν σχηματισμὸν τῆς Ἀμυγδαλιᾶς δι' ὅ καὶ χαρακτηρίζεται οὗτος ὡς τουρμπιντίτης.



Εἰκ. 2. Γενικὴ ἀποψις τοῦ τουρμπιντίτου περιοχῆς Ἀμυγδαλιᾶς. Αἱ βάσεις (πέλματα) ψαμμιτικῶν τινῶν πάγκων σημειοῦνται διὰ τῶν γραμμάτων Α, Β, Σ, Δ καὶ Ε.

‘Ο Τουρμπιντίτης Ἀμυγδαλιᾶς.

Εἰς τὴν περιοχὴν Ἀμυγδαλιᾶς (Λαμπείας), 1 km περίπου N. ΝΔ τοῦ χωρίου τούτου, ἐνετοπίσθη ἀνάπτυγμα τουρμπιντίτου (εἰκ. 2) εἰς πολλὰς βαθμίδας, μῆκους 27 περίπου μέτρων. Ὁ ὡς ἄνω σχηματισμὸς ἀπεκαλύφθη κατὰ τὴν διάνοιξιν τῆς παρακειμένης τοῦ χωρίου ἐπαρχιακῆς δύδοις καὶ ἀνεγνωρίσθη εὐκόλως κυρίως ἐκ τοῦ ἀναπτύγματος τῶν διαδοχικῶν ψαμμιτικῶν μπάγκων, ἐκ τῶν μαστοειδῶν προεξοχῶν τῶν πελμάτων τῶν πάγκων (Sohlmarken) καὶ τῆς χαρακτηριστικῆς διὰ τὰς ἐμφανίσεις ταύτας σπειροειδοῦς ὑφῆς (wickelstruktur, convolute lamination).

Εἰς τὴν ἐμφάνισιν ταύτην τοῦ τουρμπιντίτου διακρίνονται εὐχερῶς οἱ συμπαγεῖς καὶ μὴ ἀποσαθρωμένοι ψαμμιτικοὶ πάγκοι τῆς βάσεως ἔκαστης βαθμίδος.

Τὸ πάχος τῶν βαθμίδων ἐκ τῶν κάτω πρὸς τὰ ἄνω, ἔχει ὡς ἑξῆς: 2.70, 1.0, 2.0, 0.60, 7.30, 5.10, 4.74, 2.50, 2.60, 1.80 μ.

Εἰς τὸ πέλμα τῆς ψαμμιτικῆς βάσεως ἔκαστης βαθμίδος διακρίνονται σαφῶς αἱ μαστοειδεῖς προεξοχαὶ τοῦ, σχηματισμοὶ τυπικοὶ τῶν τουρμπινιτῶν. Εἰς τὰς εἰκόνας 3, 4, 5 καὶ 6 ἀπεικονίζονται τὰ ἀποτυπώματα ταῦτα βάσεων τινῶν.

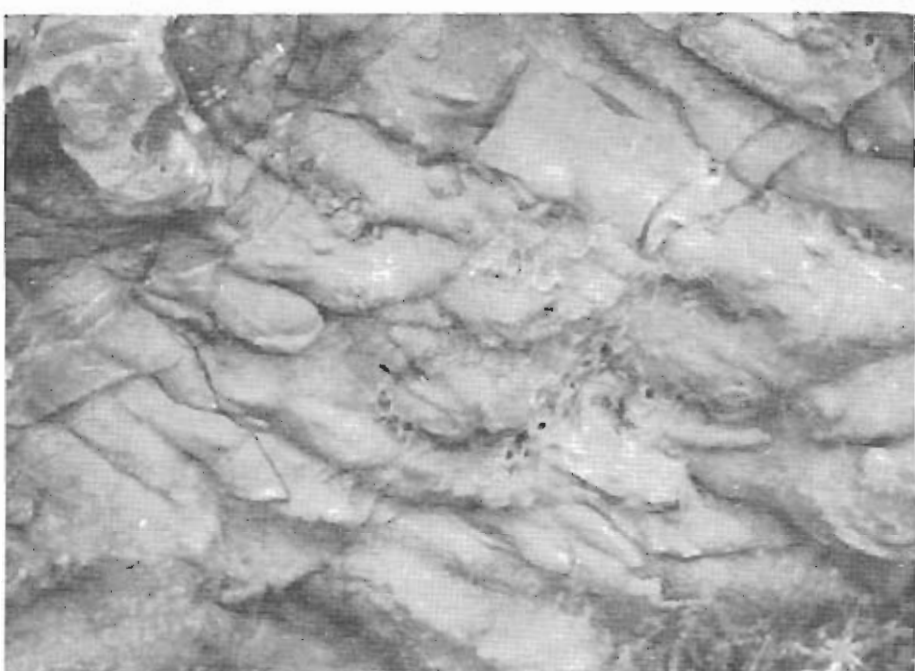
Ἡ στρῶσις τοῦ ψαμμιτικοῦ ὑλικοῦ τῶν πάγκων τῆς βάσεως εἶναι τυπικὴ καὶ διακρίνεται σαφῶς εἰς τὰς εἰκ. 7 καὶ 8.

Εἰς τὰ στρῶματα τοῦ ὑπὲρ τὴν βάσιν λεπτομερεστέρου ὑλικοῦ (μεταξὺ τῶν ψαμμιτικῶν πάγκων) καὶ δπον ἡ ἀποσάθρωσις εἶναι περιωρισμένη, διακρίνεται ἵκανοποιητικῶς ἡ τυπικὴ διὰ τοὺς τουρμπιντίτας σπειροειδῆς στρῶσις ἡ ὑφὴ (Wickelstruktur, Convolute lamination). Αὕτη ἐμφαίνεται εἰς τὰς εἰκόνας 9, 10, 11 καὶ 12. Εἰς τὰ στρῶματα ταῦτα, ἡ ἀποσάθρωσις τοῦ ὑλικοῦ ὑπαγορεύεται καὶ ἀκολουθεῖ τὰς γραμμὰς στρῶσεως δημιουργοῦσα χαρακτηριστικὴν εἰκόνα ἀποσαθρώσεως προδίδουσαν τὴν σπειροειδῆ ὑφήν των.

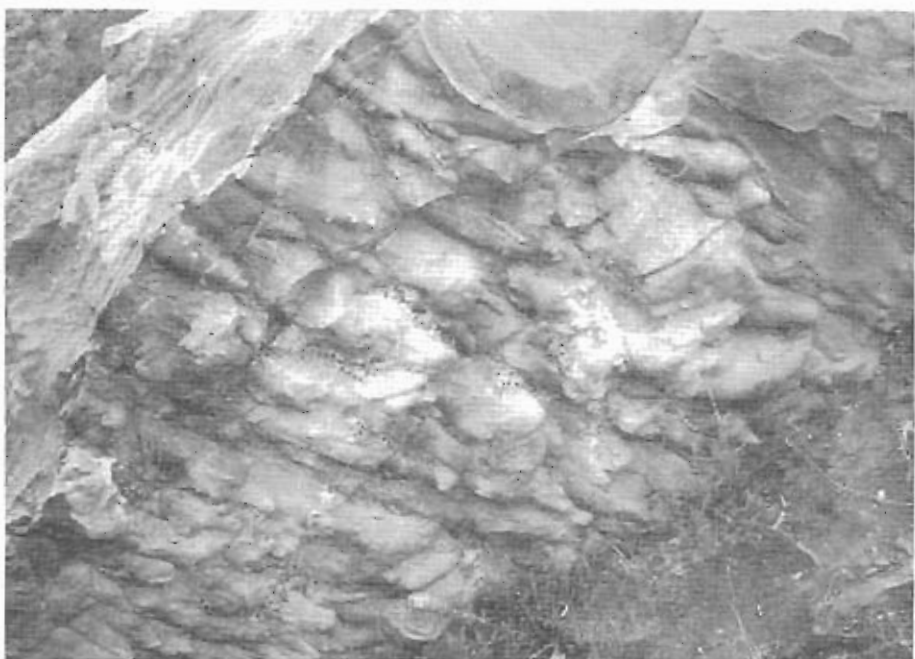
Εἰς τὸν τουρμπιντίτην Ἀμυγδαλιᾶς εἶναι προφανῆς ἀκόμη καὶ μακροσκοπικῶς ἡ κατὰ φθίνοντας τάξιν μεγέθους κόκκων στρῶσις.

Αἱ σχετικαὶ γραφικαὶ παραστάσεις ἡταν ἀποδοθοῦν εἰς ἔπομένην ἐργασίαν εἰς τὴν δποίαν ἡταν μελετηθοῦν καὶ αἱ περαιτέρω λεπτομέρειαι αἱ ἀφορῶσαι εἰς τὸν προσανατολισμὸν τοῦ ὑλικοῦ, τὸν βαθμὸν ἀποσάθρωσεως καὶ ἀποτρογγυλώσεως, εἰς τὴν δρυκτολογικὴν σύστασιν, εἰς τὸν τελικὸν χαρακτηρισμὸν τοῦ τουρμπιντίτου καὶ εἰς τὴν ἥλικίαν του.

Τέλος, εἰς δτι ἀφορᾶ εἰς τὸ περιβάλλον ἵηματογενέσεως τοῦ ἐν θέματι σχηματισμοῦ, ἐν προκειμένῳ, δ τουρμπιντίτης Ἀμυγδαλιᾶς ἀπετέθη εἰς περιβάλλον τὸ δποῖον καθορίζουν ἐνταῦθα τὰ εἰς μεγάλην ἔκτασιν ἐναποιεθέντα καὶ συμπυκνωθέντα ἀσβεστολιθικὰ στρῶματα. Ἡ ἀπόθεσις ἔλαβε χώραν παρὰ τὴν ἀκμὴν ὑφαλοκρηπίδος δπον χωροῦσε ἀνθρακικὴ ἵηματογένεσις (carbonate shelf, margin).



Εικ. 3.

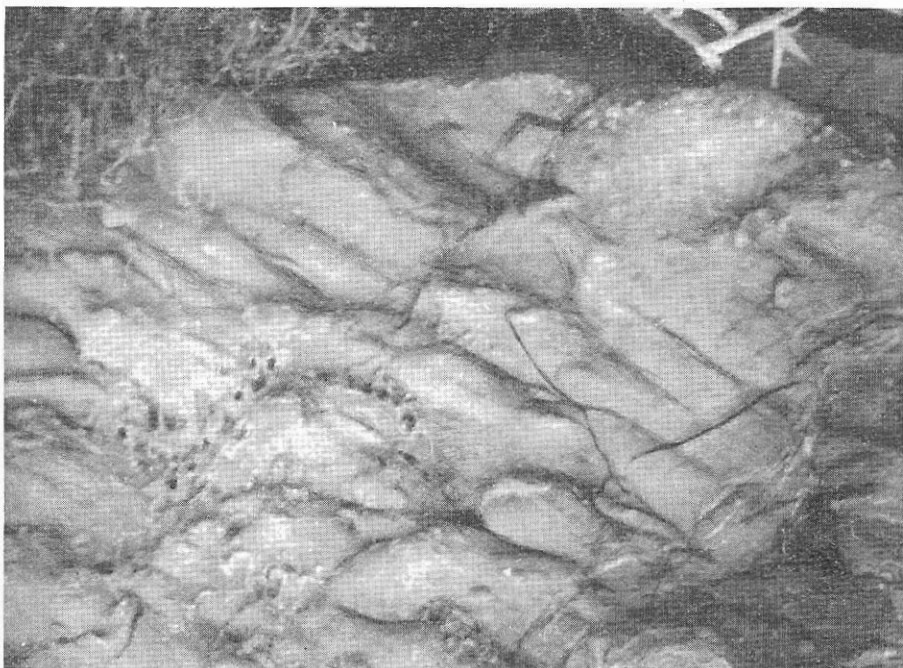


Εικ. 4.

Εικ. 3 και 4. Μαστοειδεῖς προεξοχαὶ τοῦ πέλματος (Sohlmarken) τῶν ψαμμιτικῶν βάσεων τοῦ τουρδιπιντίτου 'Αμυγδαλιᾶς.



Εἰκ. 5.



Εἰκ. 6.

Εἰκ. 5 καὶ 6. Μαστοειδεῖς προεξοχαὶ τοῦ πέλματος (Sohlmarken) τῶν ψαμμιτικῶν βάσεων τοῦ τουριπιντίτοε 'Αμυγδαλιᾶς



Εἰκ. 7.

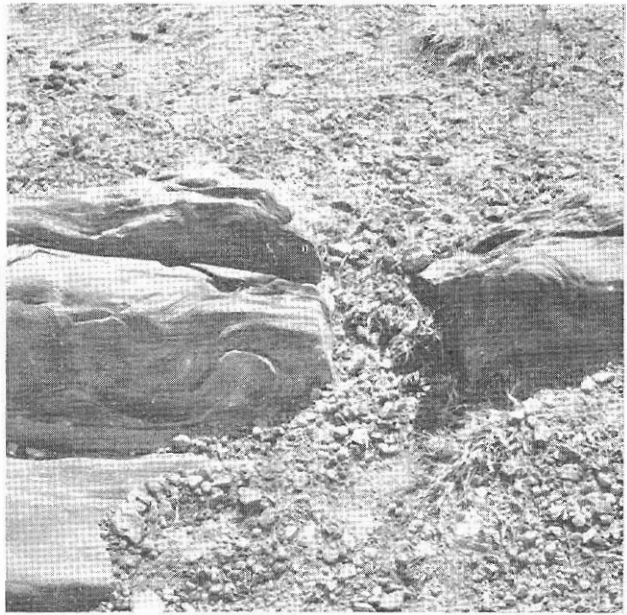


Εἰκ. 8.

Εἰκ. 7 καὶ 8. Εἰκόνες ἐμφαίνονται τὴν τυπικὴν στρῶσιν τοῦ ψαμμιτικοῦ ύλικου τῶν μπάγκων τῆς βάσεως τοῦ τουρμπιντίτου Ἀμυγδαλιᾶς.



Εἰκ. 9.

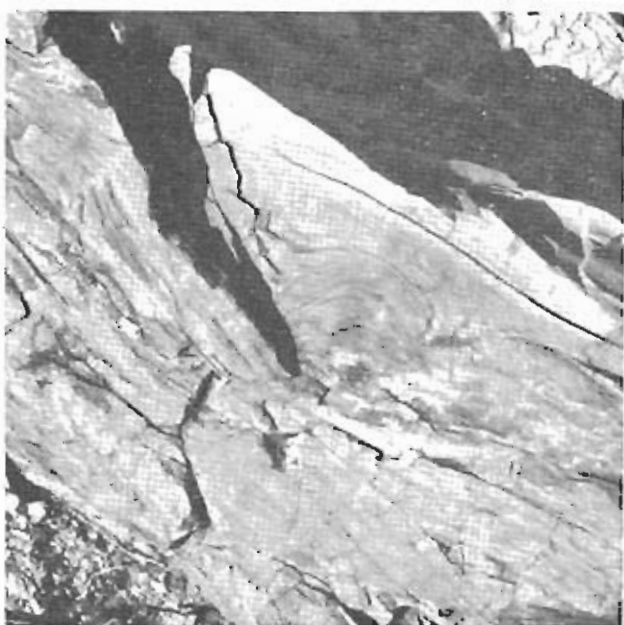


Εἰκ. 10.

Εἰκ. 9 καὶ 10. Εἰκόνες ἐμφαίνουσαι τὴν σπειροειδῆ (περιελιγμένην) στρῶσιν εἰς τοὺς τουρμπιντίτας Ἀμυγδαλιᾶς.



Εικ. 11.



Εικ. 12.

Εικ. 11 και 12. Εικόνες έμφασινουσαι τὴν σπειροειδῆ (περιελιγμένην) στρῶσιν εἰς τοὺς τουρμπιντίτας Ἀμυγδαλῖας.

ΒΙΒΛΙΟΓΡΑΦΙΑ

1. BOUMA, A. H. (1962): Sedimentology of some Flysch Deposits. Elsevier, Amsterdam.
2. BOUMA, A. H. and BROWER, A. (1964): Tourbidites. Elsevier, Amsterdam.
3. BOUMA, A. H. (1969): Some data on Trubidites from the Alpes Maritimes (France) Geol. Mijnb., 21.
4. CARROZI, A. V. and FROST, S. H. (1966): Turbidites in dolomitized flank beds of Niagara. Refs. J. Sediment. Petrol, 36.
5. DALY, R. A. (1936): Origin of Submarine canyons. Am. J. Sc., 31.
6. DUFF, P. D. HALLAM, A. and WALTON, E. K. (1967): Cyclic Sedimentation. Elsevier, Amsterdam.
7. FOREL, F. A. (1885): Les ravins sous-lacustres des fleuves glaciaires. Compt. Rend., 101.
8. HAND, B. M. and EMEPY, J. O. (1964): Turbidites and Topography of North and of San Diego trough, California. J. Geol. 72.
9. HARMS and FAHNESTOCK R. K. (1965): Stratification bed forms and flow phenomena. Soc. Econ. Min., Sp. Publ. No 13.
10. HUBERT, F. F. (1967): Sedimentology of pre-alpine flysch sequences, J. Sediment. Petrol. 37.
11. KELLING, G. (1964): The Turbidite concept in Britain (Ed. Bouma and Brower). Elsevier, Amsterdam.
12. KLEIN, G. (1967): Paleocurrent analysis in relation to modern sediment dispersal patterns. Bull. Amer. Assoc. Petrol. Geologists, 51.
13. KUENEN, PH. H. (1938): Density currents in connection with the problem of Submarine Canyons, Geol. Mag. 75.
14. KUENEN, PH. H. (1953): Significant features of graded bedding. Bull. Am. Assoc. Petrol. Geologists. 37.
15. KUENEN, PH. H. and MIGLIORINI, C. I. (1950): Turbidity currents as a cause of graded bedding. J. Geol., 58.
16. KUENEN, PH. H. and MENARD, H. W. (1952): Turbidity currents as a cause of graded deposits J. Sedim. Petrol. 22.
17. KUENEN, PH. H. (1966): Matrix of Turbidites. Exp. approach. Sedimentology 7.
18. MENARD, H. W. (1964): Marine Geology of the Pacific. Mc Grow-Hill, New York.
19. SELLEY, C. R. (1969): Ancient Sedimentary Environments. Chapman and Hall, Ltd., London.
20. VAN DER LINGEN, G. J. (1969): The Turbidite problem. N.Z J. Geol., Geoph. 12.
21. WALKER, R. G. (1965): The origin and significance of the internal sedimentary structures of Turbidites. Proc. Yorks Geol. Soc. 35.
22. WALKER, R. G. (1967): Turbidite sedimentary structures and their relationship to proximal and distal depositional environments. J. Sediment. Petrol, 37.
23. WEBB, F. W. (1965): The stratigraphy and sedimentary petrology of Miocene turbidites in San Joaquin Valley. Bull. Am. Assoc. Petrol. Geol. 49.